

## Рассеяние волны Рэлея статистической неоднородностью плотности массы

© В.Н. Чуков

Институт химической физики им. Н.Н.Семенова Российской академии наук,  
117977 Москва, Россия

(Поступила в Редакцию 10 марта 1996 г.  
В окончательной редакции 3 сентября 1996 г.)

В борновском приближении теории возмущений решена задача рассеяния волны Рэлея поверхностной неоднородностью плотности массы изотропного твердого тела. Неоднородность является статистической с гауссовой формой корреляционной функции в плоскости, параллельной поверхности, и детерминированной с экспоненциально убывающей зависимостью от координаты перпендикулярно поверхности. Получены выражения для полей смещения в рассеянных продольных (P), поперечных (SV, SH) и рэлеевских (R) волнах на больших расстояниях от неоднородности. Вычислены коэффициенты рассеяния волны Рэлея по энергии в зависимости от длины волны  $\lambda$ , радиуса корреляции неоднородности  $a$ , глубины нарушенного слоя  $d$  и коэффициента Пуассона среды  $\sigma$ . Определено угловое распределение энергии рассеянной волны Рэлея. Получены асимптотические выражения для коэффициентов рассеяния в различных предельных случаях по параметрам  $a/\lambda$  и  $\lambda/d$ . Установлено соотношение энергии в рассеянных P-, SV-, SH-, R-волнах. По полученным формулам произведен численный расчет коэффициентов рассеяния в широком диапазоне изменения параметров  $a/\lambda$ ,  $\lambda/d$ ,  $a/d$ ,  $\sigma$ ; результаты представлены в виде графиков и таблицы. Построена физическая картина рассеяния, в ее рамках дана интерпретация полученных результатов.

1. Различные задачи, рассматривающие распространение упругих волн в твердом теле с поверхностными, подповерхностными и объемными неоднородностями [1–34], вызывают интерес в связи с исследованиями условий и закономерностей существования, дисперсии и затухания волн [1–24] и в связи с изучением структуры и свойств твердых тел [25–34]. Практический интерес к ним обусловлен использованием результатов в сейсмологии и геофизике [31,32], акустоэлектронике (в связи с технологией ионной имплантации) [25–30], в дефектоскопии [12,13,33,34].

Распространение волны Рэлея в твердом теле со статистической неоднородностью теоретически рассматривается в [16–19].

В экспериментальной работе [34] установлено, что коэффициент затухания рэлеевской волны из-за рассеяния на неоднородностях нарушенного слоя может иметь разные частотные зависимости при различных способах обработки образцов. Возможна разная физическая интерпретация данных зависимостей. В связи с этим отметим, что трехмерная статистическая изотропная модель неоднородностей дает результаты менее богатые различными формами частотной зависимости [14], чем модель, статистически изотропная по двум координатам и детерминированная по третьей координате. Это связано с тем, что кроме радиуса корреляции есть еще один параметр — глубина нарушенного слоя.

В работах [20–23] установлено, что основные закономерности рассеяния рэлеевских и объемных волн на статистической шероховатости поверхности определяются взаимодействием трех факторов: геометрии рассеяния, граничных условий и структуры шероховатости. В частности, существенное значение для

характера рассеяния и частотной зависимости коэффициентов рассеяния имели наличие щели в спектре между объемными и поверхностными волнами и направление рассеяния. При этом отмеченная щель в спектре определяется граничными условиями на шероховатой поверхности, а направление рассеяния — всеми тремя указанными выше факторами. Интересно проследить, какую роль данные факторы играют при рассеянии на неоднородностях нарушенного слоя.

В данной работе решена задача рассеяния волны Рэлея статистической неоднородностью плотности массы, описываемой гауссовым коррелятором в плоскости, параллельной поверхности, и детерминированной экспонентой (перпендикулярно поверхности). Данная модель отличается от модели [19] зависимостью от радиуса корреляции и глубины нарушенного слоя. В качестве "конечных состояний" системы рассматриваются собственные волны непосредственно полубесконечной упругой среды, содержащей неоднородность в области конечных размеров.

2. Полубесконечная изотропная упругая среда со свободной поверхностью занимает полупространство  $x_3 \geq 0$  ( $\mathbf{x} = (x_1, x_2, x_3)$  — радиус-вектор в декартовой системе координат). Среда имеет неоднородную по плотности массы область, лежащую в пределах  $|x_1| \leq L_1/2$ ,  $|x_2| \leq L_2/2$ ,  $0 \leq x_3 \leq \infty$ . Плотность описывается функцией координат

$$\rho(\mathbf{x}) = \rho^{(0)}(\mathbf{x}) + \Delta\rho(\mathbf{x}), \quad \rho^{(0)}(\mathbf{x}) = \vartheta(x_3)\rho,$$

$$\Delta\rho(\mathbf{x}) = \vartheta(x_3)\rho^{(\text{inh})}(\mathbf{x}), \quad (1)$$

где  $\rho$  — постоянная плотность однородной части среды,  $\rho^{(\text{inh})}(\mathbf{x})$  — функция, описывающая неоднород-

ность и отличная от нуля только в пределах неоднородной области,  $\vartheta(x_3)$  — функция Хевисайда, равная единице при  $x_3 \geq 0$  и 0 при  $x_3 < 0$ . Статистическая однородная и изотропная по координатам  $x_1, x_2$  и детерминированная по координате  $x_3$  неоднородность имеет вид

$$\rho^{(\text{inh})}(\mathbf{x}) = \rho_{\parallel}^{(\text{inh})}(\mathbf{x}_{\parallel})e^{-gx_3}, \quad (2)$$

где  $\mathbf{x}_{\parallel} = (x_1, x_2, 0)$ ,  $d = 1/g$  — глубина нарушенного слоя,  $\rho_{\parallel}^{(\text{inh})}(\mathbf{x}_{\parallel})$  — случайная функция,  $\langle \rho_{\parallel}^{(\text{inh})} \rangle = 0$ . Корреляционная функция неоднородности [20–23] имеет гауссову форму

$$W(|\mathbf{x}_{\parallel} - \mathbf{x}'_{\parallel}|) = \rho_{\text{inh}}^2 e^{-(\mathbf{x}_{\parallel} - \mathbf{x}'_{\parallel})^2/a^2},$$

$$W(\mathbf{k}_{\parallel}) = \pi \rho_{\text{inh}}^2 a^2 e^{-a^2 \mathbf{k}_{\parallel}^2/4}, \quad (3)$$

где  $W(\mathbf{k}_{\parallel})$  — фурье-образ коррелятора,  $\rho_{\text{inh}}$  — среднеквадратичная амплитуда неоднородности,  $a$  — ее радиус корреляции. Модули упругости имеют вид

$$C_{\alpha\beta\mu\nu}^{(0)}(\mathbf{x}) = \vartheta(x_3)C_{\alpha\beta\mu\nu},$$

$$C_{\alpha\beta\mu\nu} = \lambda_0 \delta_{\alpha\beta} \delta_{\mu\nu} + \mu_0 (\delta_{\alpha\mu} \delta_{\beta\nu} + \delta_{\alpha\nu} \delta_{\beta\mu}),$$

$$\lambda_0 = \rho(c_l^2 - 2c_t^2), \mu_0 = \rho c_t^2, \quad (4)$$

где  $\lambda_0, \mu_0$  — постоянные коэффициенты Ламе,  $c_l, c_t$  — скорости продольных и поперечных волн соответственно,  $\delta_{\alpha\beta}$  — символ Кронекера.

На неоднородную область падает поверхностная волна Рэлея [22,35], распространяющаяся в положительном направлении оси  $x_1$ . Неоднородность предполагается малой  $|\rho^{(\text{inh})}| \ll \rho$ . Требуется решить задачу рассеяния в борновском приближении теории возмущений, найти векторы смещения в рассеянных волнах на больших расстояниях от неоднородности, потоки энергии в рассеянных волнах и коэффициенты рассеяния (по энергии).

Уравнение движения теории упругости [35]

$$\rho(\mathbf{x}) \frac{\partial^2 u_{\alpha}}{\partial t^2} = \left[ \frac{\partial}{\partial x_{\beta}} C_{\alpha\beta\mu\nu}^{(0)}(\mathbf{x}) \right] \frac{\partial u_{\mu}}{\partial x_{\nu}} + C_{\alpha\beta\mu\nu}^{(0)}(\mathbf{x}) \frac{\partial^2 u_{\mu}}{\partial x_{\beta} \partial x_{\nu}}, \quad (5)$$

где  $\mathbf{u}(\mathbf{x}, t)$  — вектор смещения, с учетом (1) и с помощью функции Грина  $D_{\mu\beta}$  для полубесконечной однородной среды со свободной поверхностью [20–24] можно переписать в форме

$$u_{\mu}^{(s)}(\mathbf{x}, t) \equiv u_{\mu}(\mathbf{x}, t) - u_{\mu}^{(0)}(\mathbf{x}, t)$$

$$= -\int a^3 x' \int dt' D_{\mu\beta}(\mathbf{x}, \mathbf{x}'; t - t') \Delta L_{\beta\gamma}(\mathbf{x}', t') u_{\gamma}(\mathbf{x}', t'), \quad (6)$$

где  $\mathbf{u}^{(0)}$  — вектор смещения волны Рэлея в однородной среде,  $\mathbf{u}^{(s)}$  — вектор смещения в рассеянных волнах (по определению),

$$\Delta L_{\alpha\mu}(\mathbf{x}, t) = \frac{1}{\rho} \left[ -\Delta \rho(\mathbf{x}) \delta_{\alpha\mu} \frac{\partial^2}{\partial t^2} \right] \quad (7)$$

— дифференциальный оператор. Заметим, что граничные условия для свободной поверхности включены в уравнения движения (5) с помощью формализма сингулярных функций [23].

После перехода к фурье-представлению для функций  $\mathbf{u}(\mathbf{x}, t)$ ,  $D_{\mu\beta}(\mathbf{x}_{\parallel} - \mathbf{x}'_{\parallel}; t - t'|x_3, x'_3)$ ,  $\rho^{(\text{inh})}(\mathbf{x})$  по координатам  $x_1, x_2$  и по времени  $t$  уравнение (6) с учетом (1), (4) дает для поля смещения в рассеянных волнах в борновском приближении

$$u_{\mu}^{(s)}(\mathbf{k}_{\parallel}, \omega|x_3) = -\frac{1}{\rho} \int_0^{+\infty} dx'_3 \int \frac{d^2 g_{\parallel}}{(2\pi)^2} D_{\mu\beta}(\mathbf{k}_{\parallel}, \omega|x_3, x'_3)$$

$$\times \omega^2 \delta_{\beta\gamma} \rho^{(\text{inh})}(\mathbf{k}_{\parallel} - \mathbf{g}_{\parallel}|x'_3) u_{\gamma}^{(0)}(\mathbf{g}_{\parallel}, \omega|x'_3). \quad (8)$$

Используя найденное явное выражение для фурье-образа  $u_{\mu}^{(s)}(\mathbf{k}_{\parallel}, \omega|x_3)$  и вычисляя интеграл по  $d^2 k_{\parallel}$  обратного фурье-преобразования с помощью методов стационарной фазы и контурных интегралов [20–24], получим выражения для векторов смещения в рассеянных волнах на больших расстояниях от области рассеяния.

1) Рассеянная продольная волна (P-волна)

$$\mathbf{u}^{(P)}(\mathbf{x}, t) = \mathbf{e} A \left[ \frac{\rho_{\parallel}^{(\text{inh})}(\mathbf{k}_{\parallel}^{(t)} - \mathbf{k}_{\parallel}^{(0)})}{\rho} \right] P(\mathbf{k}^{(t)}; g; \sigma) x^{-1}$$

$$\times \exp[(i\omega x/c_l) - i\omega t], \quad (9)$$

где  $\mathbf{e} = (\sin \vartheta_s \cos \varphi_s; \sin \vartheta_s \sin \varphi_s; \cos \vartheta_s)$  — орт в направлении радиус-вектора,  $\mathbf{k}_{\parallel}^{(t)} = (\omega/c_l)(\sin \vartheta_s \cos \vartheta_s; \sin \vartheta_s \sin \varphi_s; 0)$ ,  $\mathbf{k}_{\parallel}^{(0)} = \omega/c_R(1; 0; 0)$ ,  $A$  — комплексная амплитуда  $x_1$ -компоненты падающей волны Рэлея [20–24],  $\rho_{\parallel}^{(\text{inh})}(\mathbf{k}_{\parallel})$  — фурье-образ функции  $\rho_{\parallel}^{(\text{inh})}(\mathbf{x}_{\parallel})$  (2),  $\sigma$  — коэффициент Пуассона,  $c_R$  — скорость рэлеевской волны,  $\omega$  — угловая частота.

2) Рассеянная поперечная волна вертикальной поляризации (SV-волна)

$$\mathbf{u}^{(\text{SV})}(\mathbf{x}, t) = [\mathbf{e}[\mathbf{e}_3 \mathbf{e}_{\parallel}]] A \left[ \frac{\rho_{\parallel}^{(\text{inh})}(\mathbf{k}_{\parallel}^{(t)} - \mathbf{k}_{\parallel}^{(0)})}{\rho} \right]$$

$$\times S_v(\mathbf{k}^{(t)}; g; \sigma) x^{-1} \exp[(i\omega x/c_t) - i\omega t], \quad (10)$$

где в двойное векторное произведение входят  $\mathbf{e}_3, \mathbf{e}_{\parallel}$  — орты в направлении оси  $x_3$  и  $\mathbf{x}_{\parallel}$  соответственно,  $\mathbf{k}_{\parallel}^{(t)} = (\omega/c_t)(\sin \vartheta_s \cos \varphi_s; \sin \vartheta_s \sin \varphi_s; 0)$ .

3) Рассеянная поперечная волна горизонтальной поляризации (SH-волна)

$$\mathbf{u}^{(\text{SH})}(\mathbf{x}, t) = [\mathbf{e}_3 \mathbf{e}_3] A \left[ \frac{\rho_{\parallel}^{(\text{inh})}(\mathbf{k}_{\parallel}^{(t)} - \mathbf{k}_{\parallel}^{(0)})}{\rho} \right]$$

$$\times S_h(\mathbf{k}^{(t)}; g; \sigma) x^{-1} \exp[(i\omega x/c_t) - i\omega t]. \quad (11)$$

Зависимость функций  $f_1^{(P;SV;SH;B;R)}$  от коэффициента Пуассона среды  $\sigma$  в случае  $a/\lambda \ll 1$  для разных значений параметра  $\lambda/d$  ( $R/B = f_1^{(R)}/f_1^{(B)}$ )

$\lambda/d$	$\sigma$	$f_1^{(P)}$	$f_1^{(SV)}$	$f_1^{(SH)}$	$f_1^{(B)}$	$f_1^{(R)}$	$R/B$
0.01	0.05	$1.81 \cdot 10^{-1}$	$2.48 \cdot 10^{-2}$	$1.47 \cdot 10^{-2}$	$2.21 \cdot 10^{-1}$	$6.26 \cdot 10^{-1}$	2.83
	0.17	$1.21 \cdot 10^{-1}$	$2.16 \cdot 10^{-2}$	$1.22 \cdot 10^{-2}$	$1.55 \cdot 10^{-1}$	$6.49 \cdot 10^{-1}$	4.19
	0.34	$5.90 \cdot 10^{-2}$	$1.27 \cdot 10^{-2}$	$1.03 \cdot 10^{-2}$	$8.20 \cdot 10^{-2}$	$6.71 \cdot 10^{-1}$	8.18
	0.49	$1.58 \cdot 10^{-3}$	$6.19 \cdot 10^{-3}$	$9.68 \cdot 10^{-3}$	$1.74 \cdot 10^{-2}$	$6.88 \cdot 10^{-1}$	39.5
1.0	0.05	$3.28 \cdot 10^{-2}$	$1.86 \cdot 10^{-2}$	$5.69 \cdot 10^{-3}$	$5.72 \cdot 10^{-2}$	$8.48 \cdot 10^{-2}$	1.48
	0.17	$1.93 \cdot 10^{-2}$	$1.85 \cdot 10^{-2}$	$3.95 \cdot 10^{-3}$	$4.17 \cdot 10^{-2}$	$7.45 \cdot 10^{-2}$	1.79
	0.34	$6.94 \cdot 10^{-3}$	$1.77 \cdot 10^{-2}$	$1.91 \cdot 10^{-3}$	$2.66 \cdot 10^{-2}$	$5.94 \cdot 10^{-2}$	2.23
	0.49	$1.61 \cdot 10^{-4}$	$1.78 \cdot 10^{-2}$	$7.50 \cdot 10^{-4}$	$1.88 \cdot 10^{-2}$	$4.70 \cdot 10^{-2}$	2.5
10.0	0.05	$8.24 \cdot 10^{-4}$	$3.99 \cdot 10^{-4}$	$3.23 \cdot 10^{-4}$	$1.55 \cdot 10^{-3}$	$1.46 \cdot 10^{-3}$	0.94
	0.17	$4.72 \cdot 10^{-4}$	$3.73 \cdot 10^{-4}$	$2.55 \cdot 10^{-4}$	$1.10 \cdot 10^{-3}$	$1.08 \cdot 10^{-3}$	0.98
	0.34	$1.65 \cdot 10^{-4}$	$3.29 \cdot 10^{-4}$	$1.61 \cdot 10^{-4}$	$6.55 \cdot 10^{-4}$	$6.50 \cdot 10^{-4}$	0.99
	0.49	$3.69 \cdot 10^{-6}$	$2.99 \cdot 10^{-4}$	$9.27 \cdot 10^{-5}$	$3.95 \cdot 10^{-4}$	$3.93 \cdot 10^{-4}$	0.99

4) Рассеянная поверхностная волна Рэлея (R-волна)

$$\begin{aligned}
 \mathbf{u}^{(R)}(\mathbf{x}, t) = & A \left[ \frac{\rho_{\parallel}^{(inh)}(\mathbf{k}_R - \mathbf{k}_{\parallel}^{(0)})}{\rho} \right] \frac{e^{i\pi/4}}{8\sqrt{2\pi}R_2} \left( \frac{\omega}{c_R} \right)^{3/2} \\
 & \times R(gc_R/\omega; \varphi_s; \sigma) x^{-1/2} \exp[(i\omega x_{\parallel}/c_R) - i\omega t] \\
 & \times \left\{ \mathbf{e}_{\parallel} \left[ e^{-\alpha \frac{\omega}{c_R} x_3} - \gamma e^{-\beta \frac{\omega}{c_R} x_3} \right] \right. \\
 & \left. + \mathbf{e}_s \left[ i\alpha e^{-\alpha \frac{\omega}{c_R} x_3} - i \frac{\gamma}{\beta} e^{-\beta \frac{\omega}{c_R} x_3} \right] \right\}. \quad (12)
 \end{aligned}$$

где  $\mathbf{k}_R = (\omega/c_R)(\cos \varphi_s; \sin \varphi_s; 0)$ ,  $R_2$ ,  $\alpha$ ,  $\beta$ ,  $\gamma$  — константы, зависящие от  $\sigma$ .

3. С помощью выражений (9)–(12) найдем потоки энергии в рассеянных волнах, усредненные по периоду колебаний по времени и по статистическому ансамблю неоднородностей с коррелятором (3) [20–24]. После этого вычислим коэффициент рассеяния по энергии

$$\frac{1}{l} = \frac{1}{l^{(P)}} + \frac{1}{l^{(SV)}} + \frac{1}{l^{(SH)}} + \frac{1}{l^{(R)}}, \quad (13)$$

по физическому смыслу являющийся коэффициентом затухания волны Рэлея за счет рассеяния в P-, SV-, SH-, R-волны ( $1/l^{(P,SV,SH,R)}$  соответственно) [20–24].

$$\begin{aligned}
 \frac{1}{l^{(P;SV;SH;R)}} &= \frac{\rho_{inh}^2}{\rho^2} \frac{1}{a} f^{(P;SV;SH;R)}, \\
 f^{(B)} &= f^{(P)} + f^{(SV)} + f^{(SH)} + f^{(R)}, \\
 f^{(P;SV;SH;B;R)} &= \left( \frac{a}{\lambda} \right)^3 f_1^{(P;SV;SH;B;R)}, \\
 f^{(R)} &= \int_0^{2\pi} F^{(R)}(\varphi_s) d\varphi_s. \quad (14)
 \end{aligned}$$

Безразмерные функции  $f$ ,  $f_1$  зависят от  $a/\lambda$ ,  $\lambda/d$  и  $\sigma$ . Они выражаются через модифицированные функции Бесселя и интегралы от них. Их выражения не приводятся здесь из-за громоздкости.

С помощью общих выражений (14) получим асимптотические формулы для коэффициентов рассеяния при малых и больших значениях параметров  $a/\lambda$  и  $\lambda/d$ : 1) при  $a/\lambda \ll 1$ ,  $\lambda/d \gg 1$

$$\frac{1}{l^{(P;SV;SH;R)}} \simeq \frac{\rho_{inh}^2}{\rho^2} Q_{1,2,3,4} \frac{a^2 d^2 \omega^5}{c_R^3 c_{l,t,t,R}^2}; \quad (15)$$

2) при  $a/\lambda \ll 1$ ,  $\lambda/d \ll 1$

$$\frac{1}{l^{(P;SV;SH;R)}} \simeq \frac{\rho_{inh}^2}{\rho^2} Q_{5,6,7,8} \frac{a^2 \omega^3}{c_{l,t,t,R}^3}; \quad (16)$$

3) при  $a/\lambda \gg 1$ ,  $\lambda/d \ll 1$

$$\begin{aligned}
 \frac{1}{l^{(P;SV;SH)}} &\simeq \frac{\rho_{inh}^2}{\rho^2} Q_{9,10,11} \frac{d^2 \omega}{a^2 c_R} \\
 &\times \exp \left\{ -\frac{1}{4} \left( \frac{a\omega}{c_R} \right)^2 \left[ 1 - \frac{c_R}{c_{l,t,t}} \right]^2 \right\}, \\
 \frac{1}{l^{(R)}} &\simeq \frac{\rho_{inh}^2}{\rho^2} Q_{12} \frac{ad^2 \omega^4}{c_R^4}; \quad (17)
 \end{aligned}$$

4) при  $a/\lambda \gg 1$ ,  $\lambda/d \ll 1$

$$\begin{aligned}
 \frac{1}{l^{(P;SV;SH)}} &\simeq \frac{\rho_{inh}^2}{\rho^2} Q_{13,14,15} \frac{c_R}{a^2 \omega} \\
 &\times \exp \left\{ -\frac{1}{4} \left( \frac{a\omega}{c_R} \right)^2 \left[ 1 - \frac{c_R}{c_{l,t,t}} \right]^2 \right\}, \\
 \frac{1}{l^{(R)}} &\simeq \frac{\rho_{inh}^2}{\rho^2} Q_{16} \frac{a\omega^2}{c_R^2}, \quad (18)
 \end{aligned}$$

где  $Q_1 - Q_{16}$  — константы, зависящие от  $\sigma$ .

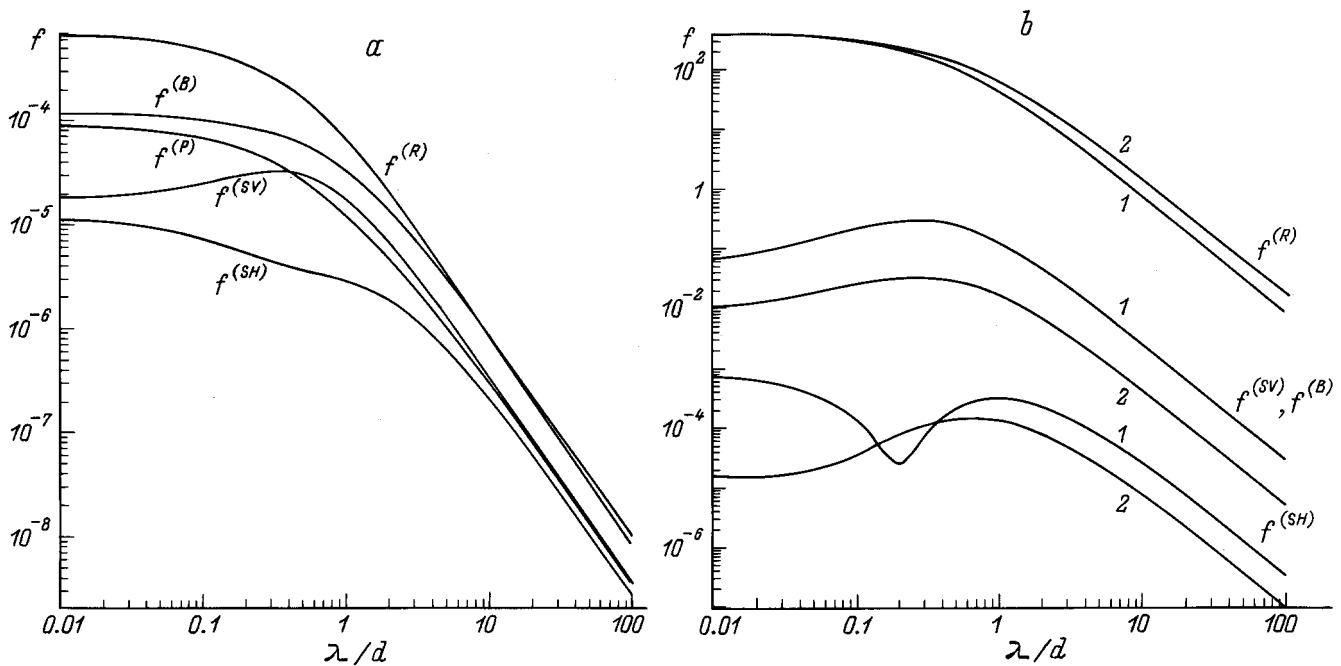


Рис. 1. Результаты численного расчета функций  $f^{(P,SV,SH,B,R)}$  в зависимости от  $\lambda/d$  при постоянном  $a/\lambda = 0.1$  (а) и 30.0 (б).  $\sigma$ : а) 0.25, б) 1 — 0.25, 2 — 0.05.

Условия применимости результатов данной работы следующие [23]: 1)  $L_1/l \ll 1$ ; 2)  $|\mathbf{x}_{||}| \gg L_1, L_2$ ; 3)  $a \ll L_1, L_2$ ; 4)  $(1 - c_R/c_t)L_1/\lambda \gg 1, L_2/\lambda \gg 1$ .

4. На рис. 1–3 и в таблице представлены результаты численного расчета безразмерных функций  $f^{(P;SV;SH;B;R)}$  и  $F^{(R)}$ .

Результаты решенной задачи рассеяния укладываются в принципиальные рамки физической картины, рассмотренной в [20–23] для рассеяния на статистической шероховатости. Основные закономерности рассеяния определяются взаимодействием трех факторов: динамики задачи (т. е. формы уравнений движения и граничных условий; динамика данной задачи такова, что возмущение системы, обусловленное наличием неоднородности плотности массы, входит не в граничные условия, а в традиционное уравнение движения, см. (5)–(8) и [23]), структуры неоднородности и геометрии рассеяния.

В длинноволновом пределе, когда длина волны много больше характерных размеров неоднородности  $a \ll \lambda, d \ll \lambda$ , структура неоднородности не “чувствует” структуру волны ни в горизонтальном (в пределах  $a$ ), ни в вертикальном (в пределах  $d$ ) направлениях. Эффективная глубина взаимодействия  $\sim d$ . Это проявляется при суммировании источников по глубине в (8). Энергия рассеянных волн распределена по направлениям примерно изотропно (кривая 1 на рис. 4). В этом случае основная доля энергии в падающей волне Рэлея находится за пределами нарушенного слоя. Коэффициенты рассеяния (15)  $1/l \sim a^2 d^2 \omega^5$ , что соответствует закону рэлеев-

ского рассеяния (по частоте) для трехмерной неоднородности. Доли энергии, перешедшие в рассеянные рэлеевские и объемные волны, одного порядка (см. рис. 1, а, 3 и таблицу).

При увеличении  $a/\lambda$  неоднородность начинает “чувствовать” структуру волны в пределах радиуса корреляции  $a$ . В соответствии с этим в области высоких частот  $a \gg \lambda$  взаимно не гасятся только те рассеянные волны, для которых выполняется условие

$$|\mathbf{k}_{||} - \mathbf{k}_{||}^{(0)}|^2 \ll \frac{4}{a^2}, \tag{19}$$

вид которого определяется формой коррелятора (3), т. е. структурой неоднородности в горизонтальной плоскости. Для выполнения условия (19) существенную роль играют наличие щели в спектре между рэлеевскими и объемными волнами, определяемое граничными условиями для однородной среды, и направление рассеяния, определяемое взаимодействием указанных выше трех факторов. Частотная зависимость коэффициентов рассеяния  $1/l$  при  $a \gg \lambda$  (зависимость от  $a/\lambda$ ) определяется именно этими волнами и является более слабой (в отношении к скорости роста), чем при  $a \ll \lambda$ .

Так, условие (19) при  $a \gg \lambda$  выполняется для волн Рэлея, углы рассеяния которых лежат в пределах

$$|\varphi_s| \ll 2\lambda/a, \tag{20}$$

Значит, вследствие структуры неоднородности максимальное рассеяние в волны Рэлея должно происходить на нулевой угол  $\varphi_s = 0$ , т. е. “вперед”. В данном

случае предкорреляционный множитель в выражении для потока энергии в рассеянной рэлеевской волне

$$\frac{dE^{(R)}}{dt} = |A|^2 L_1 L_2 \rho \left[ \frac{\rho_{inh}}{\rho} \right]^2 \frac{a^2 \omega^4 c_t^2 R_1}{256 R_2^2 c_R^3} \times \int_0^{2\pi} d\varphi_s e^{-a^2 |\mathbf{k}_{\parallel}^{(R)} - \mathbf{k}_{\parallel}^{(0)}|^2 / 4} [R_3 \cos \varphi_s + R_4]^2 \quad (21)$$

(где  $R_{3,4} = 8p_{1,2}[1/(2\alpha + g_{CR}/\omega) - 2p_{3,4}/(\alpha + \beta + g_{CR}/\omega) + p_{5,6}/(2\beta + g_{CR}/\omega)]$ ,  $p_1 = \gamma^2/\alpha$ ,  $p_2 = \alpha\gamma^2$ ,  $p_3 = \gamma$ ,  $p_4 = 1/\gamma$ ,  $p_5 = \gamma^2$ ,  $p_6 = 1/\gamma^2$ ,  $\alpha, \beta = (1 - c_R^2/c_t^2)^{1/2}$ ,  $\gamma = 1 - c_R^2/2c_t^2$ ,  $R_1$  зависит от  $\sigma$ ) не обращается в нуль ни при каких значениях  $\varphi_s$ , т.е. все направления являются разрешенными для рассеяния в волны Рэлея. Таким образом, разрешенное (граничными условиями) направление "вперед" и является направлением максимального рассеяния (рис. 4, b), а коэффициент рассеяния во вторичные волны Рэлея при  $a \gg \lambda$ ,  $d \ll \lambda$  (см. (17))  $1/l^{(R)} \sim ad^2\omega^4/c_R^4$ .

Для рассеянных объемных волн при  $a \gg \lambda$  условие (19) не может быть выполнено ни при каких углах рассеяния  $\vartheta_s$ ,  $\varphi_s$  вследствие наличия щели в спектре между рэлеевскими и объемными волнами. Поэтому коэффициенты рассеяния во все объемные волны  $1/l^{(P;SV;SH)}$  при увеличении частоты, когда  $a \gg \lambda$ , экспоненциально стремятся к нулю (17), (18). Но форма показателя экспоненты и частотная зависимость предэкспоненциального множителя определяются взаимодействием отмеченных выше трех факторов. Вследствие данной структуры неоднородности

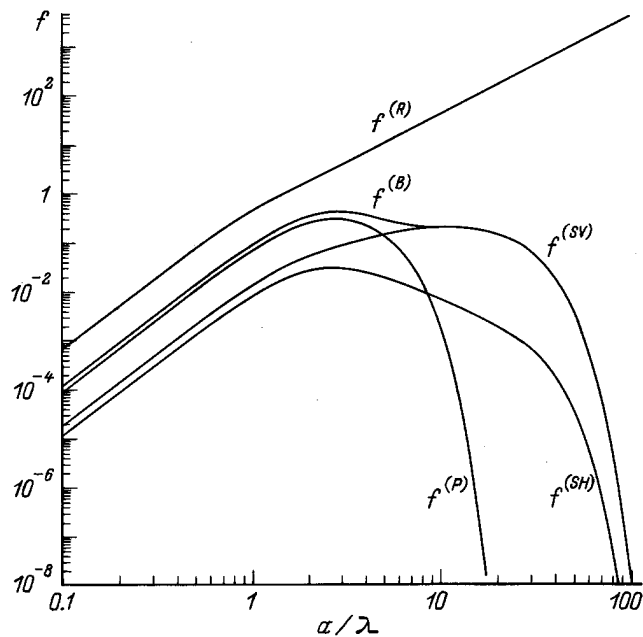


Рис. 2. Результаты численного расчета функций  $f^{(P;SV;SH;B;R)}$  в зависимости от  $a/\lambda$  при постоянном  $\lambda/d = 0.01$ ,  $\sigma = 0.25$ .

(горизонтально) направление "вперед" ( $\vartheta_s = \pi/2$ ,  $\varphi_s = 0$ ) является главным и для рассеяния в объемные волны (показатель экспоненты коррелятора максимален). Но граничные условия запрещают это направление рассеяния (точно равен нулю предкорреляционный множитель для  $\vartheta_s = \pi/2$ ,  $\varphi_s = 0$ ). И вследствие сферичности рассеянных объемных волн (т.е. геометрии рассеяния) максимальное рассеяние происходит на углы, близкие к направлению "вперед". Частотная зависимость при  $a \gg \lambda$ ,  $d \ll \lambda$  предэкспоненты  $\sim \omega$  в (17) определяется этими волнами. Математически она определяется поведением предкорреляционных множителей вблизи направления "вперед" (они  $\sim (\vartheta_s - \pi/2)^2$  для P-, SV-волн и  $\sim \varphi_s^2$  для SH-волн) при вычислении функций  $f$  (14) методом Лапласа [36].

В результате при  $a \gg \lambda$  рассеяние происходит во вторичные волны Рэлея и растет с частотой, а рассеяние в объемные волны экспоненциально стремится к нулю. Причем для продольных волн экспонента является более резкой (рис. 1, b, 2, 3).

При уменьшении  $\lambda/d$  большая доля энергии падающей волны Рэлея эффективно взаимодействует с неоднородностью, поэтому увеличивается (при постоянных  $a$ ,  $\lambda$ ) рассеяние как в рэлеевские, так и в объемные волны (см. рис. 1 и таблицу). При  $\lambda \ll d$  падающая волна перестает "чувствовать" структуру неоднородности (вертикально) при изменении  $d$ ; рост рассеяния с увеличением  $d$  замедляется. Эффективная глубина взаимодействия в (8)  $\sim \lambda$ . Степень частотной зависимости коэффициентов рассеяния уменьшается на два.  $1/l$  не зависят от глубины нарушенного слоя  $d$  (16), (18). Соотношение между энергией, рассеянной в объемные и в рэлеевские волны, определяется значением параметра  $a/\lambda$  и коэффициента Пуассона среды  $\sigma$  (см. рис. 1 и таблицу).

Так, при  $a \ll \lambda$ ,  $\lambda \ll d$   $1/l^{(P;SV;SH;R)} \sim a^2\omega^3$  (16), а соотношение энергии в рассеянных волнах сильно зависит от  $\sigma$  (см. таблицу).

При  $a \gg \lambda$ ,  $\lambda \ll d$   $1/l^{(R)} \sim a\omega^2$ , а  $1/l^{(P;SV;SH)}$  по частоте  $\omega$  экспоненциально стремятся к нулю. Рассеяние происходит в волны Рэлея.

Если  $a$ ,  $d$  постоянны, а частота падающей волны Рэлея изменяется в широком диапазоне (от  $\lambda/d \ll 1$ ,  $a/\lambda \gg 1$  до  $\lambda/d \gg 1$ ,  $a/\lambda \ll 1$ ), то для характера рассеяния и зависимости  $1/l^{(P;SV;SH;R)}$  от частоты  $\omega$  важную роль играют и горизонтальная, и вертикальная структуры неоднородности, так как изменяются оба параметра:  $a/\lambda$  и  $\lambda/d$ . Это проявляется, например, в том, что коэффициенты рассеяния при  $\lambda/d \rightarrow 0$  не выходят на константу (как при постоянных  $a$ ,  $\lambda$ ). При  $\lambda/d \rightarrow 0$   $1/l^{(P;SV;SH)}$  стремятся к нулю экспоненциально по частоте (18), при увеличении  $\lambda/d$  они имеют максимум и далее убывают (15) как  $\lambda^{-6}$  при  $\lambda/d \gg 1$  (т.е. более резко, чем при  $a/\lambda = \text{const}$  ( $\sim \lambda^{-3}$ )). При  $\lambda/d \rightarrow 0$   $1/l^{(R)}$  возрастает (18) как  $\lambda^{-2}$ . Таким образом, при  $\lambda/d \ll 1$  рассеяние происходит в

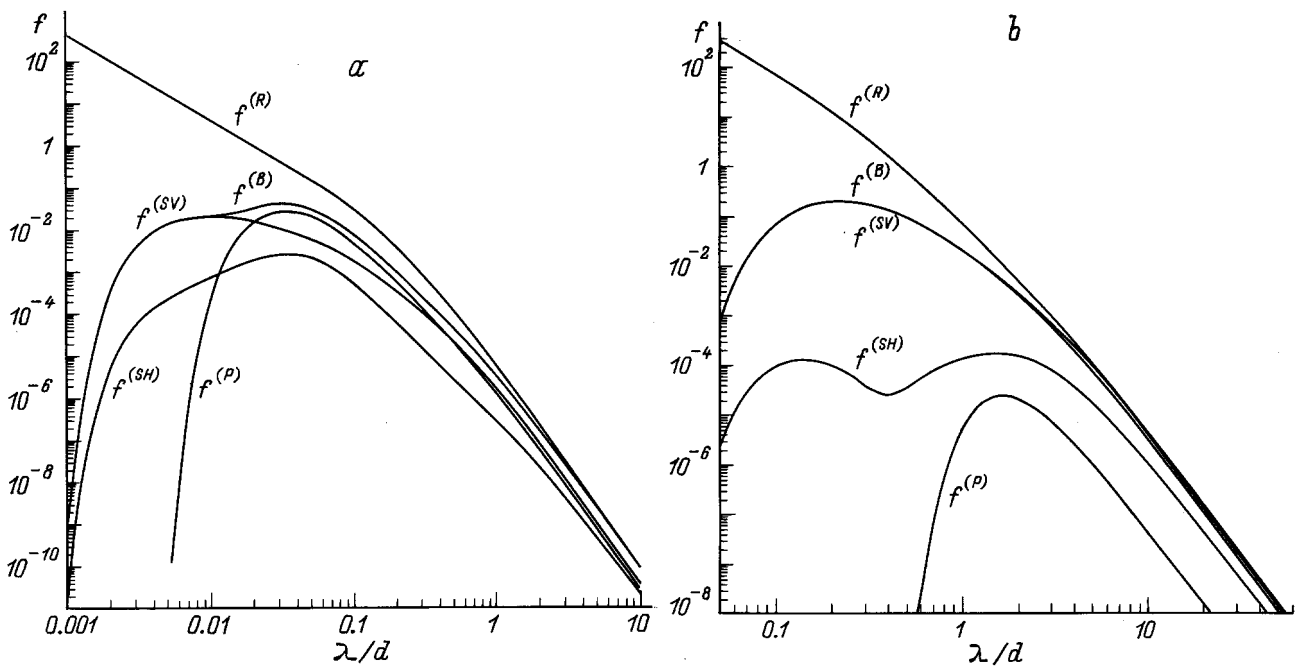


Рис. 3. Результаты численного расчета функций  $f^{(P,SV,SH,B,R)}$  в зависимости от  $\lambda/d$  при постоянном  $a/d = 0.1$  (а) и 5.0 (б).  $\sigma$ : а — 0.25, б — 0.49.

волны Рэлея. При увеличении  $\lambda/d$   $1/l^{(R)}$  монотонно убывает (при  $\lambda/d \gg 1$  (15) как  $\lambda^{-6}$ , а не как  $\lambda^{-3}$  при  $a/\lambda = \text{const}$ ) и становится того же порядка, что и  $1/l^{(B)} = 1/l^{(P)} + 1/l^{(SV)} + 1/l^{(SH)}$  (см. рис. 3 и таблицу). Кроме того, при  $a/d \ll 1$  или  $a/d \gg 1$  имеются области частот, в которых поведение коэффициентов рассеяния описывается формулами (16) и (17) соответственно. В промежуточной по  $\lambda/d$  области соотношение между частями энергии, рассеянными в объемные и в рэлеевские волны, определяется значением  $a/\lambda$  и  $\sigma$  (рис. 3).

Отметим, что, хотя величина неоднородности монотонно убывает при увеличении расстояния от поверхности (2), функции  $1/l^{(SV)}$ ,  $1/l^{(SH)}$  имеют максимумы и минимумы в зависимости от  $\lambda/d$  при постоянных  $a$ ,  $\lambda$  (рис. 1, б, 2). Экстремумы проявляются более резко при увеличении параметра  $a/\lambda$ . В рамках рассматриваемой физической картины наличие максимумов и минимумов плотности потока энергии по  $\lambda/d$  (при  $a$ ,  $\lambda = \text{const}$ ) для данного направления рассеяния обусловлено взаимодействием с неоднородностью двух компонент (скалярной и векторной) волны Рэлея, имеющих поверхностный характер. Рассеянные SH-волны имеют экстремумы для направления "вперед" и вблизи него, SV-волны — для разных направлений при разных значениях  $\lambda/d$ , но наиболее резкие для направления "вперед". При вычислении суммарного по углам потока энергии в случае  $a/\lambda \ll 1$  экстремумы сглаживаются. При  $a/\lambda \gg 1$  рассеяние происходит в основном в направлении "вперед", экстремумы имеют наиболее выраженный характер.

В рамках рассматриваемой физической картины рассеянное поле формируется в области с размерами порядка радиуса корреляции  $a$  (горизонтально) и глубины нарушенного слоя  $d$  (вертикально). В силу выбранной модели неоднородности (2), (3)  $\rho_{\parallel}^{(\text{inh})}$  не зависит от  $g = 1/d$ , а  $\rho_{\text{inh}}$  — от  $a$ . Поэтому при увеличении  $a$  и  $d$  увеличивается интегральная "дефектная масса" в пределах  $a$  и  $d$ , и рассеяние, т. е.  $1/l$  (15)–(18), растет. В случаях когда вертикальный размер эффективной области рассеяния  $\sim \lambda \ll d$ ,  $1/l$  не зависит от  $d$  (16), (18).

Численный расчет показал, что в целом коэффициенты рассеяния сильно зависят от коэффициента Пуассона среды  $\sigma$  (см. рис. 1, б, 3 и таблицу). При  $a/\lambda \ll 1$ ,  $\lambda/d \ll 1$  рассеяние в волны Рэлея растет при увеличении  $\sigma$ , а рассеяние в объемные волны уменьшается. Отношение долей энергии, рассеянных в рэлеевские и в объемные волны, изменяется более чем на порядок: при  $0 < \sigma \leq 0.25$  они одного порядка, при  $0.25 < \sigma < 0.5$  рассеяние в волны Рэлея на порядок больше. В данном пределе при значении  $\sigma$ , близком к нулю, рассеяние в продольные волны примерно на порядок превышает рассеяние в SV- и SH-волны. При увеличении  $\sigma$   $1/l^{(P)}$  становится меньше, чем  $1/l^{(SV)}$ ,  $1/l^{(SH)}$ , но примерно одного порядка с ними. При  $a/\lambda \ll 1$ ,  $\lambda \gg d$  с ростом  $\sigma$  уменьшается рассеяние как в объемные, так и в рэлеевские волны, а соответствующие им доли энергии почти равны во всем диапазоне  $\sigma$ . Коэффициенты рассеяния  $1/l^{(P;SV;SH)}$  при значении  $\sigma$ , близком к нулю, одного порядка, с ростом  $\sigma$  они монотонно уменьшаются и

при  $\sigma$ , близком к 0.5,  $1/l^{(P)}$  более чем на порядок меньше, чем  $1/l^{(SV;SH)}$ .

На рис. 5 представлен пример расчета по формулам (14) коэффициента затухания волны Рэлея в зависимости от частоты для среды с  $\sigma = 0.31$  и различными значениями  $a$  и  $d$ . Кривые имеют разный наклон, что соответствует разным частотным зависимостям. В эксперименте [34] также наблюдаются разные частотные зависимости коэффициента затухания при различных способах обработки поверхности образцов.

В данной работе также проведен расчет рассеяния по формулам (14) для плотности и корреляционной функции вида

$$\rho(\mathbf{x}) = \rho + \Delta\rho(\mathbf{x}), \quad \Delta\rho(\mathbf{x}) = \Delta\rho(\mathbf{x}_{\parallel})ge^{-g\mathbf{x}_3},$$

$$\langle \Delta\rho(\mathbf{x}_{\parallel})\Delta\rho(\mathbf{x}'_{\parallel}) \rangle = \overline{\Delta\rho}^2 W^{(1)}(|\mathbf{x}_{\parallel} - \mathbf{x}'_{\parallel}|/a),$$

$$W^{(1)}(|\mathbf{x}_{\parallel} - \mathbf{x}'_{\parallel}|/a) = \frac{\text{const}}{\pi a^2} e^{-|\mathbf{x}_{\parallel} - \mathbf{x}'_{\parallel}|^2/a^2}, \quad (22)$$

где  $\langle \dots \rangle$  и черта над буквой обозначают усреднение по ансамблю неоднородностей. Модель неоднородности (22) использована в [19]. Чтобы получить  $1/l^{(P;SV;SH;R)}$  для неоднородности (22), нужно безразмерные функции  $f^{(P;SV;SH;R)}$  данной работы умножить на  $\text{const}/(d^2 a^3)$ . Отметим, что функции (22) при  $g \rightarrow \infty$  (т.е.  $d \rightarrow 0$ ) и  $a \rightarrow 0$  переходит в  $\delta$ -функцию Дирака от  $x_3$  и  $(\mathbf{x}_{\parallel} - \mathbf{x}'_{\parallel})$  соответственно. Физически это соответствует тому, что интегральная "дефектная масса" в области с размерами  $\sim a$  (горизонтально) и  $\sim d$  (вертикально) при изменении  $a$  и  $d$  остается

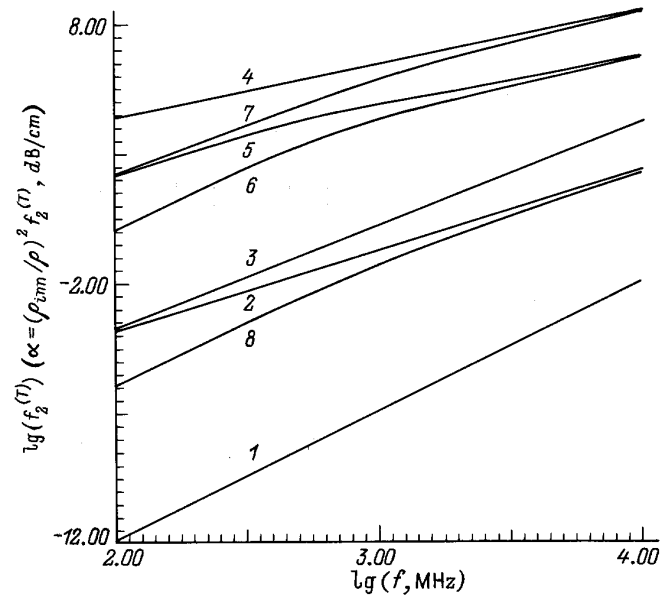


Рис. 5. Зависимость коэффициента затухания  $\alpha$  от частоты  $f = w/2\pi$ .  $\sigma = 0.31$ ,  $C_R = 3.485 \cdot 10^5$  cm/s,  $c_t = 3.751 \cdot 10^5$  cm/s,  $c_l = 7.136 \cdot 10^5$  cm/s.  $a$  ( $\mu\text{m}$ ) и  $d$  ( $\mu\text{m}$ ): 1 —  $10^{-3}$  и  $10^{-3}$ , 2 —  $10^{-3}$  и 50, 3 — 50 и  $10^{-3}$ , 4 — 50 и 50, 5 — 1 и 50, 6 — 1 и 1, 7 — 50 и 1, 8 —  $10^{-3}$  и 1.

постоянной. Поэтому зависимость  $1/l$  от  $a$  и  $d$  для неоднородности (22) отличается от соответствующей зависимости для модели неоднородности (1)–(3).

Результаты для суммарного коэффициента затухания  $1/l$  на неоднородности (22) сравнивались с результатами численного расчета работы [19]. Результаты хорошо согласуются для двух верхних кривых рис. 3,а в [19] и для начальных участков всех остальных кривых рис. 3,а,б в [19]. Но в конечных точках расчета для двух нижних кривых рис. 3,а и всех кривых рис. 3,б в [19] значения в 1.5–2 раза меньше значений настоящей работы. Соответственно в окрестности данных точек отличаются наклоны кривых. Формулы (15)–(18) могут быть использованы для экспериментального определения параметров  $a$  и  $d$  нарушенного слоя.

Автор выражает благодарность В.М. Левину и всем сотрудникам Центра акустической микроскопии за поддержку при выполнении данной работы.

### Список литературы

- [1] К. Sezawa. Bull. Earthqu. Res. Inst. (Tokyo) **9**, 310 (1931).
- [2] Н.В. Зволинский. Изв. АН СССР. Сер. геогр. и геофиз. **9**, 3, 261 (1945).
- [3] А. Chattopadhyay. Gerland Beitr. Geophysik (Leipzig) **85**, 1, 71 (1976).
- [4] И.А. Кайбичев. Акуст. журн. **32**, 5, 688 (1986).
- [5] J.E. Gubernatis, A.A. Maradudin. Wave Motion **9**, 2, 111 (1987).

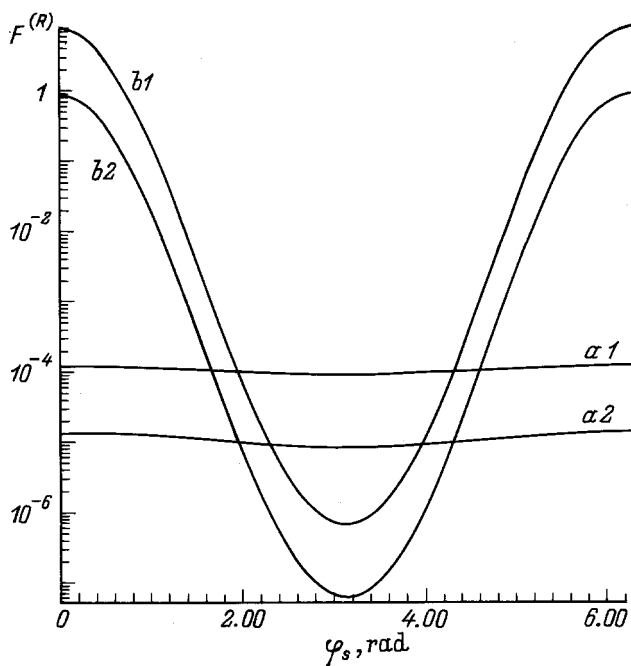


Рис. 4. Угловое распределение рассеяния в волны Рэлея  $F^{(R)}(\varphi_s)$ ,  $\sigma = 0.25$ .  $a/\lambda$ :  $a$  — 0.1,  $b$  — 4.0.  $\lambda/d$ : 1 — 0.01, 2 — 1.0.

- [6] F.C. Karal, J.B. Keller. *J. Mathemat. Phys.* **5**, 4, 537 (1964).
- [7] К. Собчик. *Механика. Периодич. сб. переводов иностр. ст.*, 6, 142 (1974).
- [8] Л.А. Чернов. *Распространение волн в среде со случайными неоднородностями*. М. (1975).
- [9] H.S. Tuan. *J. Appl. Phys.* **47**, 4, 1248 (1976).
- [10] H.S. Tuan. *IEEE Trans. Son. and Ultrason.* **SU-23**, 4, 232 (1976).
- [11] K.L. Dutta, S.K. Chakraborty. *Indian J. Pure Appl. Math.* **20**, 6, 646 (1989).
- [12] И.М. Лифшиц, Г.Д. Пархомовский. *ЖЭТФ* **20**, 2, 175 (1950).
- [13] F.E. Stanke, G.S. Kino. *J. Acoust. Soc. Am.* **75**, 3, 665 (1984).
- [14] L. Knoroff, J.A. Hudson. *J. Acoust. Soc. Am.* **42**, 1, 18 (1967).
- [15] R.G. Steg, P.G. Klemens. *J. Appl. Phys.* **45**, 1, 23 (1974).
- [16] J.A. Hudson. *Proc. Camb. Phil. Soc.* **67**, 25, 215 (1970).
- [17] А.В. Чигарев. *Механика твердого тела*, 4, 87 (1970).
- [18] Z. Hryniewicz, A.J. Hermans. *J. Sound Vibration* **115**, 2, 351 (1987).
- [19] M. Narita, T. Sakuma. *J. Appl. Phys.* **49**, 11, 5507 (1978).
- [20] В.В. Косачев, Ю.Н. Лохов, В.Н. Чуков. *ЖЭТФ* **94**, 9, 162 (1988).
- [21] В.В. Косачев, Лохов Ю.Н., В.Н. Чуков. *ФТТ* **31**, 6, 105 (1989).
- [22] В.В. Косачев, Ю.Н. Лохов, В.Н. Чуков. *ФТТ* **32**, 7, 2045 (1990).
- [23] В.Н. Чуков. *МИФИ*, М. (1994). 20 с.
- [24] A.A. Maradudin, D.L. Mills. *Ann. Phys. (N.Y.)* **100**, 262 (1976).
- [25] J.A. Bucaro, L. Flax. *J. Appl. Phys.* **45**, 2, 765 (1974).
- [26] T.L. Szabo. *J. Appl. Phys.* **46**, 4, 1448 (1975).
- [27] P. Hartemann, M. Morizot. *Ultrasonics Symp. Proc. IEEE Cat. 74CHO 896-1SU* (1974). P. 307.
- [28] R.V. Schmidt. *Appl. Phys. Lett.* **27**, 1, 8 (1975).
- [29] B.R. Tittmann, L.A. Ahlberg, J.M. Richardson, R.B. Thompson. *IEEE Trans. Ultrason. Ferroelectrics Frequency Control* **UFFC-34**, 5, 500 (1987).
- [30] S.D. Kwon, H.C. Kim. *J. Appl. Phys.* **62**, 7, 2660 (1987).
- [31] M. Roth, M. Korn. *Geophys. J. Int.* **112**, 124 (1993).
- [32] M. Hoshiya. *J. Geophys. Res.* **98**, B9, 15809 (1993).
- [33] В.П. Алехин. *Физика прочности и пластичности поверхностных слоев материалов*. М. (1983). 280 с.
- [34] A.D. Hynndman, S.B. Palmer. *Ultrasonics* **20**, 2, 73 (1982).
- [35] Л.Д. Ландау, Е.М. Лифшиц. *Теория упругости*. М. (1987). 248 с.
- [36] А. Эрдейи. *Асимптотические разложения*. М. (1962). 127 с.